

Задание 1. Анализ временных и частотных характеристик импульсных сигналов.

Пример 1.1.

С помощью свойств преобразования Фурье найти аналитическое выражение спектра аналогового импульсного сигнала $s(t)$, изображенного на рис. 1.1.

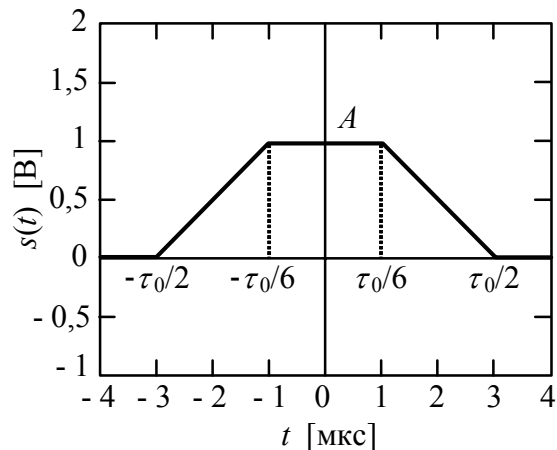


Рис. 1.1. Аналоговый импульсный сигнал $s(t)$. $A = 1 \text{ В}$, $\tau_0 = 6 \text{ мкс}$.

Изобразить спектр сигнала $S(f)$ в квадратурной и амплитудно-фазовой формах. Проанализировать полученные графики.

Решение.

В общем случае для отыскания спектральной функции (спектра) $S(f)$ аналоговых импульсных сигналов используется прямое преобразование Фурье:

$$S(f) = \int_{-\infty}^{\infty} s(t) \cdot e^{-j2\pi ft} dt, [\text{В} \cdot \text{с}]. \quad (1.1)$$

Обратное преобразование Фурье позволяет найти сигнал по его спектру:

$$s(t) = \int_{-\infty}^{\infty} S(f) \cdot e^{j2\pi ft} df, [\text{В}]. \quad (1.2)$$

На практике определение спектра импульсных сигналов непосредственно с помощью выражения (1.1) часто приводит к значительным вычислительным трудностям. В этом случае удобнее воспользоваться известными

спектрами сигналов простой формы и свойствами преобразования Фурье, основными из которых является свойство линейности, задержки сигнала, интегрирования и дифференцирования сигнала, и другие.

Рассмотрим процедуру отыскания спектра аналогового импульсного сигнала, показанного на рис. 1.1. Аналитическое выражение сигнала $s(t)$ имеет следующий вид:

$$s(t) = \begin{cases} \frac{3A}{2} + \frac{3A}{\tau_0}t, & -\frac{\tau_0}{2} \leq t < -\frac{\tau_0}{6}, \\ A, & -\frac{\tau_0}{6} \leq t < \frac{\tau_0}{6}, \\ \frac{3A}{2} - \frac{3A}{\tau_0}t, & \frac{\tau_0}{6} \leq t \leq \frac{\tau_0}{2}, \\ 0, & |t| > \frac{\tau_0}{2}. \end{cases} \quad (1.3)$$

При отыскании аналитического выражения спектра импульсных сигналов, состоящих из кусочно-линейных функций, удобно пользоваться свойством интегрирования и дифференцирования сигнала. Продифференцируем сигнал $s(t)$ по времени:

$$s'(t) = \frac{ds(t)}{dt} = \begin{cases} \frac{3A}{\tau_0}, & -\frac{\tau_0}{2} \leq t < -\frac{\tau_0}{6}, \\ -\frac{3A}{\tau_0}t, & \frac{\tau_0}{6} \leq t \leq \frac{\tau_0}{2}, \\ 0, & \text{остальные } t. \end{cases} \quad (1.4)$$

График функции полученного сигнала $s'(t)$ показан на рис. 1.2.

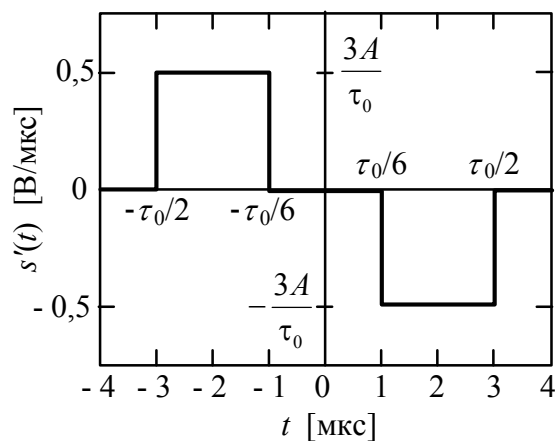


Рис. 1.2. Первая производная сигнала $s(t)$ по времени.

Из рис. 1.2 видно, что сигнал $s'(t)$ можно представить в виде суммы двух задержанных прямоугольных импульсов:

$$s'(t) = \frac{3A}{\tau_0} \cdot \text{rect}_\tau \left(t + \frac{\tau_0}{3} \right) - \frac{3A}{\tau_0} \cdot \text{rect}_\tau \left(t - \frac{\tau_0}{3} \right), \quad (1.5)$$

где $\text{rect}_\tau(t)$ – прямоугольный импульс длительностью $\tau = \tau_0/3$, определяемый следующим соотношением:

$$\text{rect}_\tau(t) = \begin{cases} 1, & -\frac{\tau}{2} \leq t \leq \frac{\tau}{2}, \\ 0, & \text{остальные } t. \end{cases} \quad (1.6)$$

Спектр прямоугольного импульса амплитудой A_0 и длительностью τ определяется следующим соотношением:

$$A_0 \cdot \text{rect}_\tau(t) \stackrel{F}{\Leftrightarrow} A_0 \tau \cdot \frac{\sin(\pi f \tau)}{\pi f \tau} = A_0 \tau \cdot \text{sinc}(\pi f \tau), \quad (1.7)$$

где $\text{sinc}(x) = \frac{\sin(x)}{x}$ – функция типа «sinc».

Используя свойство спектров для задержанных сигналов:

$$\begin{aligned} s(t) &\stackrel{F}{\Leftrightarrow} S(f) \\ s(t-T) &\stackrel{F}{\Leftrightarrow} S(f) \cdot e^{-j2\pi f T}, \end{aligned} \quad (1.8)$$

где T – задержка исходного сигнала $s(t)$, можно записать выражение для спектра сигнала $s'(t)$:

$$\begin{aligned} s'(t) &\stackrel{F}{\Leftrightarrow} \frac{3A}{\tau_0} \cdot \frac{\tau_0}{3} \cdot \text{sinc} \left(\pi f \frac{\tau_0}{3} \right) \cdot e^{j2\pi f \frac{\tau_0}{3}} - \frac{3A}{\tau_0} \cdot \frac{\tau_0}{3} \cdot \text{sinc} \left(\pi f \frac{\tau_0}{3} \right) \cdot e^{-j2\pi f \frac{\tau_0}{3}} = \\ &= A \cdot \text{sinc} \left(\pi f \frac{\tau_0}{3} \right) \cdot \left(e^{j2\pi f \frac{\tau_0}{3}} - e^{-j2\pi f \frac{\tau_0}{3}} \right). \end{aligned} \quad (1.9)$$

Полученное выражение можно упростить с помощью формул Эйлера:

$$\cos \varphi = \frac{e^{j\varphi} + e^{-j\varphi}}{2}, \quad \sin \varphi = \frac{e^{j\varphi} - e^{-j\varphi}}{2j}. \quad (1.10)$$

Таким образом, выражение спектра сигнала $s'(t)$ примет вид:

$$s'(t) \stackrel{F}{\Leftrightarrow} S'(f) = j2A \cdot \text{sinc} \left(\pi f \frac{\tau_0}{3} \right) \cdot \sin \left(2\pi f \frac{\tau_0}{3} \right). \quad (1.11)$$

Для нахождения аналитического выражения сигнала $s(t)$ воспользуемся свойством интегрирования сигнала по времени:

$$\begin{aligned} s(t) &\stackrel{F}{\Leftrightarrow} S(f) \\ \int_{-\infty}^t s(\tau) d\tau &\stackrel{F}{\Leftrightarrow} \frac{S(f)}{j2\pi f} + \frac{S(0)}{2} \delta(f). \end{aligned} \quad (1.12)$$

Окончательно получаем выражение для спектра сигнала $s(t)$:

$$\begin{aligned} S(f) &= \frac{S'(f)}{j2\pi f} + \frac{S'(0)}{2} \cdot \delta(f) = \\ &= \frac{j2A \cdot \text{sinc}\left(\pi f \frac{\tau_0}{3}\right) \cdot \sin\left(2\pi f \frac{\tau_0}{3}\right)}{j2\pi f} + 0 \cdot \delta(f) = \\ &= \frac{2}{3} A \tau_0 \cdot \text{sinc}\left(\pi f \frac{\tau_0}{3}\right) \cdot \text{sinc}\left(2\pi f \frac{\tau_0}{3}\right). \end{aligned} \quad (1.13)$$

Для отображения комплексной функции $S(f)$ ее можно представить в *показательной форме* через модуль и аргумент:

$$S(f) = |S(f)| \cdot e^{j \arg S(f)}, \quad (1.14)$$

либо в *квадратурной форме* через действительную и мнимую части:

$$S(f) = \text{Re}\{S(f)\} + j \text{Im}\{S(f)\}. \quad (1.15)$$

Модуль спектральной функции $S(f)$, называемый *амплитудно-частотным спектром* (АЧС), представляет собой действительную функцию, обладающую свойством четной симметрии:

$$\text{АЧС} \Rightarrow |S(f)| = |S(-f)|. \quad (1.16)$$

Аргумент спектральной функции $S(f)$, называемый *фазо-частотным спектром* (ФЧС), обладает свойством нечетной симметрии:

$$\text{ФЧС} \Rightarrow \arg S(f) = -\arg S(-f). \quad (1.17)$$

Аналогичными свойствами обладают действительная и мнимая части спектральной функции:

$$\begin{aligned} \text{Re}\{S(f)\} &= \text{Re}\{S(-f)\}, \\ \text{Im}\{S(f)\} &= -\text{Im}\{S(-f)\}. \end{aligned} \quad (1.18)$$

Показательная и квадратурная формы спектральной функции сигнала связаны между собой следующими соотношениями:

$$\text{АЧС: } |S(f)| = \sqrt{[\text{Re}\{S(f)\}]^2 + [\text{Im}\{S(f)\}]^2}, \quad (1.19)$$

$$\text{ФЧС: } \arg S(f) = \begin{cases} \text{arctg} \frac{\text{Im}\{S(f)\}}{\text{Re}\{S(f)\}}, & \text{Re}\{S(f)\} > 0, \\ \text{arctg} \frac{\text{Im}\{S(f)\}}{\text{Re}\{S(f)\}} + \pi, & \text{Re}\{S(f)\} < 0. \end{cases} \quad (1.20)$$

Поскольку исходный сигнал $s(t)$ обладает свойством четной симметрии:

$$s(t) = s(-t), \quad (1.21)$$

спектр $S(f)$ является действительной функцией, т.е. $\text{Re}\{S(f)\} = S(f)$.

На рис. 1.3 и 1.4 представлены действительная часть спектра сигнала, амплитудный и фазовый спектры сигнала $s(t)$ соответственно.

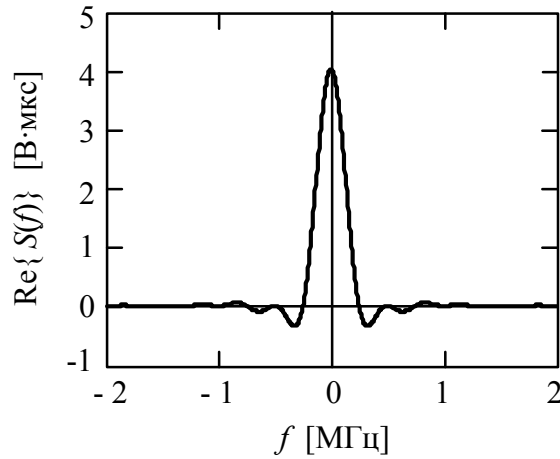


Рис. 1.3. Действительная часть спектра сигнала $s(t)$.

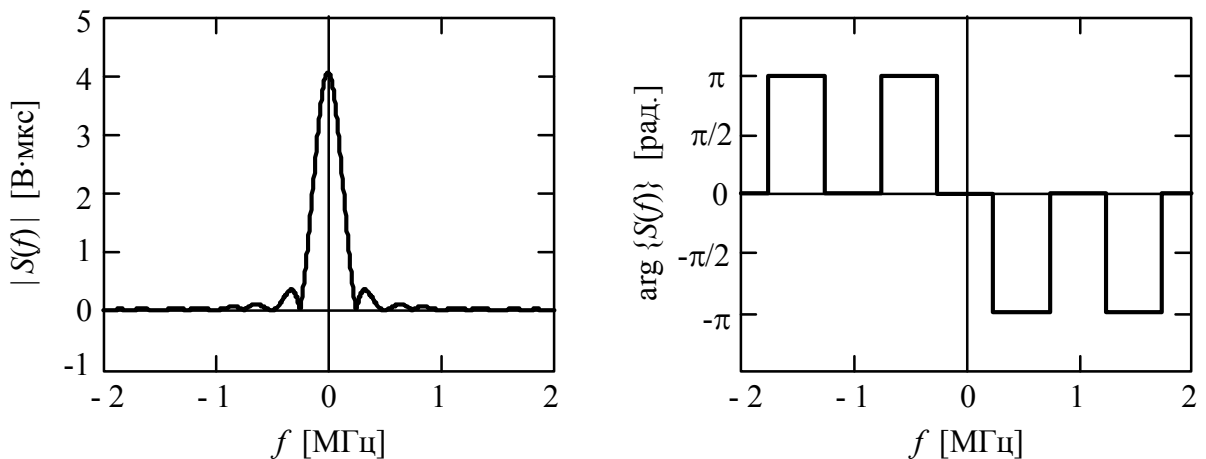


Рис. 1.4. Амплитудный и фазовый спектры сигнала $s(t)$.

Проанализируем полученный спектр $S(f)$. В амплитудном спектре сигнала $s(t)$ значение $S(0)$ может быть определено по свойству площади преобразования Фурье как площадь сигнала $s(t)$ (площадь трапеции):

$$S(0) = \int_{-\infty}^{\infty} s(t) dt = A \cdot \frac{1}{2} \left(\frac{\tau_0}{3} + \tau_0 \right) = \frac{2}{3} A \tau_0 = 4 \text{ [В} \cdot \text{мкс]}. \quad (1.22)$$

Пример 1.2.

С помощью свойств преобразования Фурье найти аналитическое выражение спектра аналогового импульсного сигнала $s(t)$, изображенного на рис. 1.5.

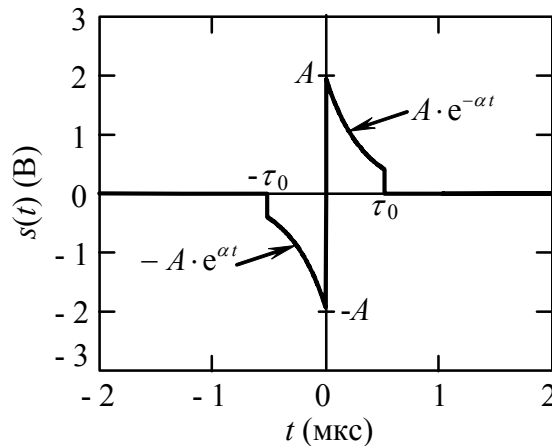


Рис. 1.5. Аналоговый импульсный сигнал $s(t)$.
 $A = 2 \text{ В}$, $\tau_0 = 0,5 \text{ мкс}$, $\alpha = \pi \cdot 10^6 \text{ рад/сек}$.

Изобразить спектр сигнала $S(f)$ в квадратурной и амплитудно-фазовой формах. Проанализировать полученные графики.

Решение.

Из рисунка видно, что аналитическое выражение сигнала $s(t)$ может быть описано как сумма двух усеченных экспонент, одна из которых инвертирована во времени:

$$s(t) = s_1(t) - s_1(-t), \quad (1.23)$$

где сигнал $s_1(t)$ определяется выражением:

$$s_1(t) = \begin{cases} A \cdot e^{-\alpha t}, & 0 < t < \tau_0, \\ 0, & t < 0, t > \tau_0. \end{cases} \quad (1.24)$$

Сигнал $s_1(t)$ можно выразить через табличный сигнал односторонней экспоненты (см. рис. 1.6):

$$s_1(t) = A \cdot x(t) - B \cdot x(t - \tau_0), \quad (1.25)$$

где $x(t) = e^{-\alpha t} \cdot u(t)$, $B = A \cdot x(t)|_{t=\tau_0} = A \cdot x(\tau_0)$, $u(t)$ – единичная ступенчатая функция (функция Хевисайда), определяемая соотношением:

$$u(t) = \begin{cases} 0, & t < 0, \\ 1/2, & t = 0, \\ 1, & t > 0. \end{cases} \quad (1.26)$$

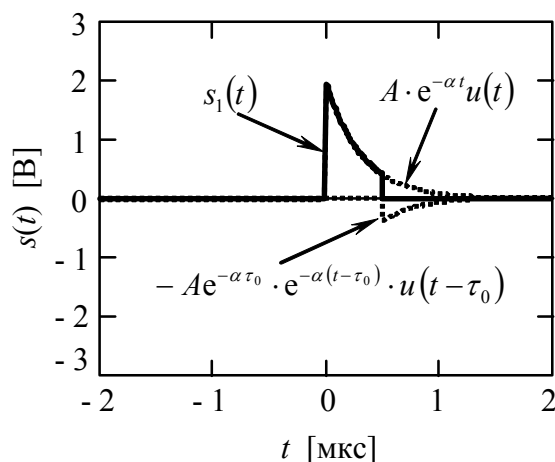


Рис. 1.6. Формирование сигнала $s_3(t)$.

Подставив выражение (1.25) в (1.23), получим временную функцию искомого сигнала $s(t)$:

$$s(t) = A \cdot x(t) - B \cdot x(t - \tau_0) - A \cdot x(-t) + B \cdot x(-t + \tau_0). \quad (1.27)$$

Теперь по известному спектру экспоненциального сигнала $x(t)$

$$x(t) = A \cdot e^{-\alpha t} \cdot u(t) \stackrel{F}{\Leftrightarrow} X(f) = \frac{A}{j2\pi f + \alpha} \quad (1.28)$$

с использованием свойства линейности спектров и инвертирования сигнала во времени:

$$\begin{aligned} a \cdot s_1(t) + b \cdot s_2(t) &\stackrel{F}{\Leftrightarrow} a \cdot S_1(f) + b \cdot S_2(f), \\ s(-t) &\stackrel{F}{\Leftrightarrow} S^*(f), \end{aligned} \quad (1.29)$$

где «*» означает комплексное сопряжение, можно найти спектр сигнала $S(f)$:

$$\begin{aligned}
S(f) &= A \cdot X(f) - B \cdot X(f) \cdot e^{-j2\pi f\tau_0} - A \cdot X^*(f) + B \cdot X^*(f) \cdot e^{j2\pi f\tau_0} = \\
&= A \cdot \left(\frac{1}{\alpha + j2\pi f} - \frac{1}{\alpha - j2\pi f} \right) + A \cdot x(\tau_0) \cdot \left(\frac{e^{j2\pi f\tau_0}}{\alpha - j2\pi f} - \frac{e^{-j2\pi f\tau_0}}{\alpha + j2\pi f} \right) = \\
&= A \cdot \frac{-j4\pi f}{\alpha^2 + (2\pi f)^2} + A e^{-\alpha\tau_0} \cdot \left(\frac{(\alpha + j2\pi f) \cdot e^{j2\pi f\tau_0} - (\alpha - j2\pi f) \cdot e^{-j2\pi f\tau_0}}{\alpha^2 + (2\pi f)^2} \right) = \quad (1.30) \\
&= A \cdot \frac{[\alpha(e^{j2\pi f\tau_0} - e^{-j2\pi f\tau_0}) + j2\pi f(e^{j2\pi f\tau_0} + e^{-j2\pi f\tau_0})] \cdot e^{-\alpha\tau_0} - j4\pi f}{\alpha^2 + (2\pi f)^2} = \\
&= j2\pi A \cdot \frac{\left[\frac{\alpha}{2\pi} \sin(2\pi f\tau_0) + 2f \cos(2\pi f\tau_0) \right] \cdot e^{-\alpha\tau_0} - 2f}{\alpha^2 + (2\pi f)^2}.
\end{aligned}$$

Полученное выражение позволяет оценить особенности спектра сигнала $s(t)$. Спектр $S(f)$ является чисто мнимым, что соответствует свойству спектров для нечетных временных функций. Мнимая часть спектра сигнала $s(t)$ показана на рис. 1.7, амплитудный и фазовый спектры сигнала показаны на рис. 1.8.

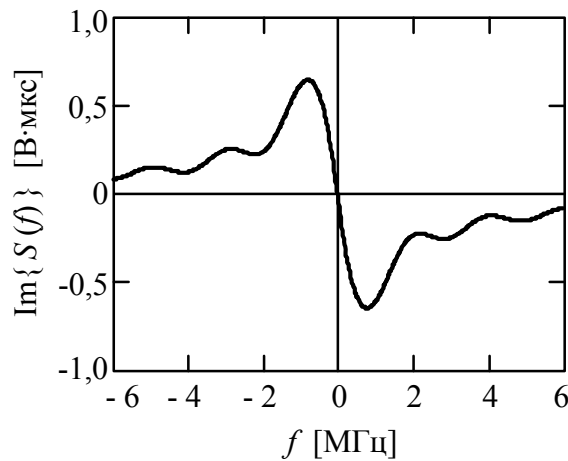


Рис. 1.7. Мнимая часть спектра импульсного аналогового сигнала $s(t)$.

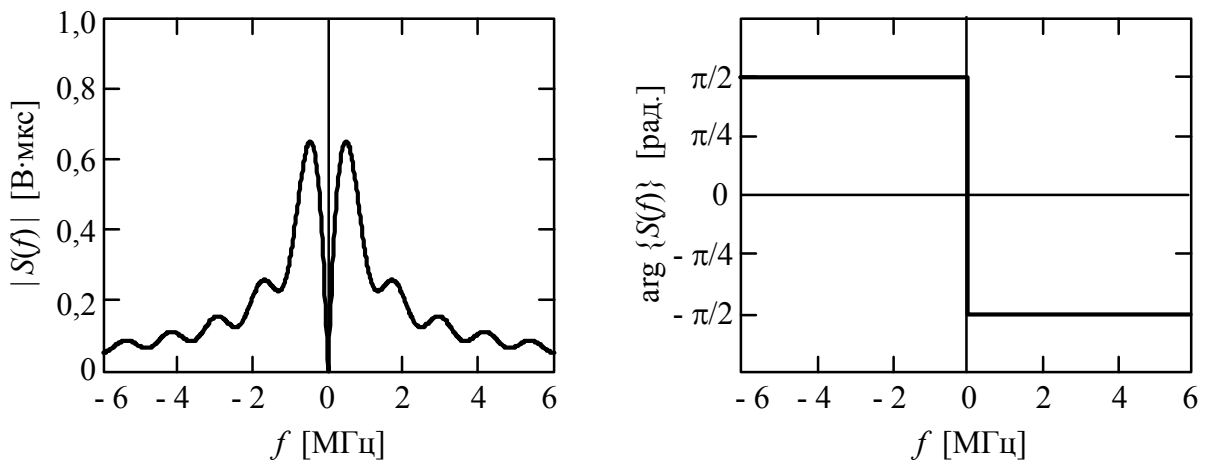


Рис. 1.8. Амплитудный и фазовый спектры сигнала $s(t)$.

С помощью свойства площади преобразования Фурье можно проверить правильность нахождения спектра сигнала:

$$S(0) = \int_{-\infty}^{\infty} s(t) dt = 0. \quad (1.31)$$